



اندازه گیری و مدل سازی تجربی خواص مکانیکی غیر خطی بافت رگ صافن انسان با استفاده از آزمون های کشش دومحوری

آیسا رسولی^۱، ناصر فتورائی^{۲*}، محمد شفیق^۳

۱- کارشناس ارشد، دانشکده مهندسی پزشکی، دانشگاه صنعتی امیرکبیر، تهران

۲- دانشیار، دانشکده مهندسی پزشکی، دانشگاه صنعتی امیرکبیر، تهران

۳- مربی، دانشکده مکانیک، دانشگاه آزاد اسلامی، واحد اسلامشهر

*تهران، صندوق پستی ۱۵۸۷۵-۴۴۱۳

nasser@aut.ac.ir

چکیده

بیماری های سیستم قلب و عروق، یکی از دلایل مهم مرگ و میر در جهان هستند و ارتباط نزدیکی با دینامیک خون و مکانیک دیواره شریان دارند. نه تنها در سیستم قلبی-عروقی، بلکه در تمام سیستم بدن، قلب مهم ترین عضو است که اگر رگ های خون- رسان آن دچار گرفتگی یا تنگی شوند، عملکرد قلب مختل می شود. از راه کارهای مفید در بروط کردن تنگی عروق قلب انجام عمل بای پس است که در آن از یک رگ جایگزین برای خون رسانی به قلب استفاده می کنند. بنابراین مطالعه رفتار عروق متداولی که جهت انجام پیوند بای پس قلبی مورد استفاده قرار می گیرند مهم می نماید. رگ صافن انسان یکی از این عروق است. هدف این مطالعه بررسی رفتار مکانیکی ورد صافن با استفاده از آزمون های کشش دومحوری می باشد. بنابراین هشت نمونه صافن انسانی تهیه شد و آزمون های مسطح دومحوری بر نمونه ها با اعمال همزمان نیرو در دووجهت طولی و پیرامونی انجام شد. سپس نمودار تنش-کرنش بدست آمده از آزمون ها با دو مدل هایبرالاستیک ناهمسانگرد چهار پارامتری فانگ و پنج پارامتری مونی-ریولین که می توان از آنها برای تحلیل های عددی در بسته های اجزای محدود استفاده کرد، برآراش و مدل سازی شدند. میزان سفتی راستای طولی نمونه ها نسبت به راستای پیرامونی بیشتر بود. نمونه ها درجه ای از ناهمسانگردی را از خود نشان دادند.

اطلاعات مقاله

مقاله پژوهشی کامل

دریافت: ۰۵ اردیبهشت ۱۳۹۳

پذیرش: ۰۳ تیر ۱۳۹۳

ارائه در سایت: ۱۲ مهر ۱۳۹۳

کلید واژگان:

رفتار غیرخطی

بافت غیرایزوتروپ

تشنج صفحه ای

مدل فانگ

مدل مونی-ریولین

Experimental measurement and modeling of nonlinear mechanical properties of the human saphenous vessel tissue by the tensile biaxial tests

Aisa Rassoli¹, Nasser Fatouraei^{1*}, Mohammad Shafiq²

1- Department of Biomedical Engineering, Amirkabir University of Technology, Tehran, Iran

2- Department of Mechanical Engineering, Islamic Azad University, Islamshahr Branch, Iran

* P.O.B.158754413 Tehran, Iran, nasser@aut.ac.ir

ARTICLE INFORMATION

Original Research Paper

Received 25 April 2014

Accepted 24 June 2014

Available Online 04 October 2014

Keywords:

Nonlinear characteristics

anisotropic tissue

plain stress

Fung model

Mooney-Rivlin model

ABSTRACT

Cardiovascular diseases are a major cause of death in the world and are closely related to the dynamics of the blood and arterial wall mechanics. Not only in the cardiovascular system, but also in the whole body system, the heart is the most important organ, if the blood vessels of the heart are blocked heart function will be impaired. Effective solutions to resolve blockage of coronary is the bypass surgery in which are placement vessel for the blood supply to the heart. So studying the behavior of the vessels that are used for the bypass is important. The goal of this study is the investigation of the mechanical behavior of saphenous vein by using the tensile biaxial tests. Eight human saphenous samples were obtained and the planar biaxial tests were performed on the tissue specimens by applying simultaneous loads along the circumferential and longitudinal directions. Then the measured data were fitted into the four-parameter Fung-type model and also to the five-parameter Mooney-Rivlin model, this could be used in finite element packages for numerical analysis. The specimens were stiffer in the longitudinal than in the circumferential direction. The specimens showed some degree of anisotropy.

قلبی دچار گرفتگی می شوند. با عمل بای پس^۱ مسیرهای فرعی برای شریان-

هایی که دچار گرفتگی شده اند گذاشته می شود. در شرایط جدید گردش

1-Bypass

-۱- مقدمه آتروواسکلوزیس یکی از بیماری های سیستم قلب و عروق می باشد که از آسیب

به سلول های بوششی شریانی ناشی می شود [۱] و در این حالت رگ های

برای ارجاع به این مقاله از عبارت ذیل استفاده نمایید:

A. Rassoli, N. Fatouraei, M. Shafiq, Experimental measurement and modeling of nonlinear mechanical properties of the human saphenous vessel tissue by the tensile biaxial tests, *Modares Mechanical Engineering*, Vol. 14, No. 13, pp. 1-6, 2015 (In Persian)

اگرچه داده های تست کشش تکمحوری به طور جامع ارائه شده است، اما آنها اطلاعات کافی از خصوصیات پاسخ ناهمسانگرد را انتقال نمی دهند و آزمون های تورم انجام شده قادر تطبیق پذیری آزمایش های مسطح هستند و در این آزمون ها اندازه و محدوده نمونه ها به اندازه فشار بستگی دارد [18]. بنابراین برای مدل سازی دقیق خواص ناهمسانگرد غیرخطی ورید صافن نیاز به آزمون های کشنش دومحوری مسطح است. در این آزمون ها نیرو در دو جهت طولی و پیرامونی به طور همزمان اعمال می شود و تاثیر تنش شعاعی نادیده گرفته می شود.

بر اساس مطالعه نویسنده، اندازه گیری های تجربی حاصل از بارگذاری مسطح همزمان در دو جهت عمود برهم، برای گسترش مدل بنیادی صافن مورد توجه نبوده است. هدف این مقاله، گسترش یک مدل بنیادی برای بافت صافن می باشد. آزمون های دومحوری در نمونه های بافت در دو جهت طولی و پیرامونی انجام می گیرد و مدل های پلاستیک فانگ و مونی-ریولین بهینه شده به بافت صافن تعیین داده می شود.

2- مواد و روش ها

2-1- آماده سازی نمونه

هشت نمونه رگ صافن با مراجعه به بیمارستان تخصصی قلب شهید رجائی تهران تهیه شد. نمونه ها در نرمال سالین ۰/۹٪ قرار داده شدند. ضخامت نمونه ها با استفاده از کولیس اندازه گیری شدند و ضخامت میانگین محاسبه شد. با استفاده از کاتر، نمونه ها در ابعاد $6 \times 6 \times 6$ بریده شدند. جهت هر نمونه از بافت مورد نظر در محور اول (۱۱) راستای پیرامونی و محور دوم (۲۲) راستای طولی بود. برای حفظ شرایط بیولوژیکی و تازگی بافت، آزمایش به طور میانگین ۱۰ ساعت پس از بدست آوردن نمونه ها انجام شد. در طول آزمایش نیز نمونه ها در نرمال سالین ۰/۹٪ در ۳۷ درجه سانتی گراد نگهداری شدند.

2-2- روند آزمون دومحوری

2-2-1- توصیف تجهیزات

آزمایش ها روی هر نمونه با استفاده از سیستم دومحوری مسطح توسعه یافته انجام شد (شکل ۱). گیره های این دستگاه می توانند به طور مستقیم نمونه با ابعاد بزرگتر از 5×5 میلی متر مربع را بدون آنکه آسیبی به بافت برسانند، نگه داری کنند. این دستگاه می تواند نمونه ها را در طول آزمایش مرتبط نگه دارد، به طوری که خواص آنها تغییری نکند. در این سیستم نیروهای کششی توسط دو لودسل 5×0.0025 دقت نیوتون اندازه گیری می شود. دوربین میکروسکوپی دیجیتالی با قابلیت بزرگنمایی $300\times$ ، فرکانس ۳۰ هرتز و رزولوشن 480×640 در این سیستم کار گذاشته شده است. در این سیستم اطلاعات توسط کنترلرها به یک کامپیوتر منتقل می شوند و ذخیره می شوند. برای همگام سازی اطلاعات، داده ها از لودسل ها و دوربین هر دو به طور همزمان با یک فرکانس ۵ هرتز با استفاده از برنامه نوشته شده در پایتون، ذخیره می شوند.

2-2-2- روند بارگذاری

بس از قرار گیری هر نمونه در دستگاه آزمایش، پیش بار ۰/۰۱ نیوتون در طول هر دو محور اعمال شد تا یک شکل مسطح مناسب یعنی شرایطی که اندازه گیری معنی دار را فراهم می کند، بدست آید. میزان سرعت ۰/۰۲ میلی متر بر

خون در رگ جدید به جای رگ مسدود شده است. عروق متداول برای این پیوند شریان سینه ای، شریان رادیال دست و سیاهرگ صافن می باشد [2]. با توجه به اینکه در عمل جراحی با پس عمده اورید صافن در پیوند عروق به کار گرفته می شود و اغلب در طی ۱۰ سال برعکس از پیوند ها دیواره دچار گرفتگی می شوند [2] و از آنجایی که ممکن است بیماری کرونری با تنش و کرنش داخل رگ متناسب باشد [3-5] از این رو تعیین خواص مکانیکی آن از اهمیت ویژه ای برخوردار است.

تمام رگ ها از بخش های مانند الاستین¹، کلازن²، فایپرولاست²، ماهیچه های نرم³ و ماده پایه⁴ تشکیل شده اند. نسبت هر یک از این اجزا در رگ های مختلف متفاوت است و با وظیفه آن رگ متناسب می باشد. خواص مکانیکی دیواره رگ به نقش مکانیکی اجزای غیر فعال (الاستین و فیرهای کلازن) و اجزای فعال (سلول های ماهیچه نرم رگ) بستگی دارد [6]. رگ ها را همچنین می توان به سه لایه درونی، میانی و بیرونی تقسیم بندی کرد [7]. لایه درونی معمولاً بسیار نازک است و در استحکام مکانیکی می توان از آن صرف نظر نمود [8]. لایه های میانی و بیرونی وظیفه ایجاد استحکام در دیواره رگ ها را بر عهده دارند و نقش مهم و قابل توجهی در تحمل تنش های واردہ ایفا می کنند [9].

برای تخمین خواص مکانیکی ورید صافن دنووان و همکارانش آزمون هایی تکمحوری بر روی این رگ در راستای طولی و پیرامونی انجام داده، نیروی تحملی و مدول کششی این رگ را بدست آورده و به این نتیجه دست یافتند که سن، قند خون و فشار خون بالا بر استحکام کششی پیرامونی رگ صافن تاثیر گذار هستند [10]. همچنین همدانی و همکارانش آزمون های تک محوری بر روی صافن انسان انجام دادند و به این نتیجه دست یافتند که میزان سفتی بافت صافن در راستای طولی بیشتر از پیرامونی است و کشنش در راستای عرضی بیشتر از راستای طولی است و همچنین استحکام آن را با ورید نافی مقایسه کردند و به این نتیجه رسیدند که استحکام صافن بیشتر از نافی می باشد [11]. پرانجوسی و همکارانش با انجام آزمون های تور به این نتیجه رسیدند که بافت صافن ناهمگن و تراکم پذیر است [12]. همچنین برولست و ویتو آزمون های کشنش دومحوری بر روی صافن سگ انجام دادند و اثر انجماد را بر روی بافت بررسی کردند و به این نتیجه رسیدند که منجمد و ذوب کردن بر روی ماهیچه های نرم اثر می کند ولی بر روی کلازن و الاستین بی تاثیر است [13]. ملسي و همکارانش با انجام آزمون هایی بر روی ورید افراد با فشار خون بالا و طبیعی با افزاد فشار خون بالا متفاوت است و این مورد می تواند نتایج کلینیکی را تحت تاثیر قرار دهد [14]. جامیتو و همکارانش آزمون های تکمحوری بر روی شریان سینه ای و شریان رادیال انجام دادند و به این نتیجه رسیدند که استحکام شریان سینه ای بیشتر از شریان رادیال است و کرنش بافت رادیال بیشتر از شریان سینه ای می باشد [15]. اندل و همکارانش در سال ۲۰۰۱ آزمون های تکمحوری با نرخ کرنش های مختلف بر روی عروق کرونری و شریان سینه ای انجام دادند و با مقایسه این عروق به این نتیجه رسیدند که شریان سینه ای نسبت به عروق کرونری استحکام بالای دارد [16]. همچنین تاکنون هولزافل و همکارانش به تجزیه و تحلیل خواص مکانیکی الاستیک رگ های مختلف مربوط به قلب با فرض چند لایه بودن آنها پرداخته اند [17.4].

1- Elastin

2- Fibroblast

3- Smooth muscle

4- Ground substance

تنش‌های کوشی در دو راستا برای مدل فانگ همانند روابط (۶.۵) محاسبه شد:

$$\sigma_{11} = \frac{1}{2} C \lambda_1^2 [a_1 (\lambda_1^2 - 1) + a_3 (\lambda_2^2 - 1)] \times e^{\frac{1}{4} [a_1 (\lambda_1^2 - 1)^2 + a_2 (\lambda_2^2 - 1)^2 + 2a_3 (\lambda_1^2 - 1)(\lambda_2^2 - 1)]} \quad (5)$$

$$\sigma_{22} = \frac{1}{2} C \lambda_2^2 [a_2 (\lambda_2^2 - 1) + a_3 (\lambda_1^2 - 1)] \times e^{\frac{1}{4} [a_1 (\lambda_1^2 - 1)^2 + a_2 (\lambda_2^2 - 1)^2 + 2a_3 (\lambda_1^2 - 1)(\lambda_2^2 - 1)]} \quad (6)$$

دومین مدل انتخابی مدل مونی-تریولین بهینه شده است که رفتار ناهمسانگرد بافت را نشان می‌دهد و می‌تواند در نرم‌افزارهای اجزای محدود مورد استفاده قرار گیرد.تابع انرژی کرنشی این مدل به صورت رابطه (7) است:

$$W = C_1 (I_1 - 3) + D_1 [\exp(D_2 (I_1 - 3)) - 1] + \frac{k_1}{2k_2} [\exp(k_2 (I_4 - 1)^2 - 1)] \quad (7)$$

که در آن $I_1 = \lambda_1^2 + \lambda_2^2 + (\lambda_1 \lambda_2)$ و $I_4 = C_{ij}(n_c)/(n_c)$ ، n_c راستای پیرامونی بافت و D_1 ، D_2 ، k_1 و k_2 ضرایب مدل هستند [27].

مطابق تابع انرژی کرنشی، تنش کوشی در دو راستا برای این مدل با روابط (۸.۹) بدست آمد:

$$\sigma_{11} = (2 \times (\lambda_1^2 - \lambda_3^2)) (C_1 + D_1 \times D_2 \times \exp(\lambda_1^2 + \lambda_2^2 + \lambda_3^2 - 3)) + (2 \times k_1 \times \lambda_1^2 \times (\lambda^2 - 1) \times \exp(\lambda_1^2 + \lambda_2^2 + \lambda_3^2 - 3)) \quad (8)$$

$$\sigma_{22} = (2 \times (\lambda_2^2 - \lambda_3^2)) (C_1 + D_1 \times D_2 \times \exp(\lambda_1^2 + \lambda_2^2 + \lambda_3^2 - 3)) \quad (9)$$

سپس داده‌های تجربی بر روی تنش‌های کوشی هر مدل با استفاده از روش بهینه‌سازی الگوریتم زنتیک توسط نرم‌افزار متلب ویرایش 13 برآورد شدند و پارامترهای هر مدل بدست آمدند. همچنین برای مدل فانگ میزان ناهمسانگردی با استفاده از رابطه (10) بدست آمد [28]:

$$\min \left[\frac{a_1 + a_3}{a_2 + a_3}, \frac{a_2 + a_3}{a_1 + a_3} \right] = \text{ناهمسانگردی} \quad (10)$$

4-2- تحلیل آماری

نتایج داده‌های تجربی و مدل‌سازی به صورت میانگین ± انحراف معیار بیان شدند. مقایسه استحکام بافت در دو راستای طولی و پیرامونی با استفاده از آزمون تی-تست در نرم‌افزار SPSS V22.0 انجام شد.

3- نتایج

بعد از اینکه نمونه‌ها در سیستم دومحوری مسطح قرار گرفتند، نیروی بسیار کوچکی برای بدست آوردن موقعیت دقیق بافت بر آنها اعمال شد. از آنجا که محافظت از بافت برای جلوگیری از فاسد شدن امکان‌پذیر نبود، بنابراین تعدادی از نمونه‌ها، داده‌های قبل از ندادن. خاصت میانگین نمونه‌ها ۰/۶۵ میلی‌متر در نظر گرفته شد. شکل ۲ نمودار تنش کوشی-کشنش از آزمون کشنش دومحوری برای نمونه‌ها را در دو راستای پیرامونی و طولی نشان می‌دهد. استحکام راستای طولی نمونه‌ها بیشتر از راستای پیرامونی می‌باشد.

سپس داده‌های آزمایشگاهی با معادلات فانگ و مونی-تریولین برآش شدند. جدول‌های ۱ و ۲ نشان‌دهنده پارامترهای مدل‌های بنیادی برای تمامی نمونه‌ها می‌باشد و مقدار میانگین برای پارامترهای هر مدل محاسبه شد. طبق

ثانیه برای کشنش در آزمون شبه‌استاتیک انتخاب شد. داده‌ها از نیرو و جابجایی در فواصل زمانی ۰/۰۲ ثانیه ثبت شد. برای اندازه‌گیری کرنش، یک دوربین میکروسکوپی USB دیجیتالی که در بالا و به صورت عمود بر نمونه‌ها نصب شده بود، استفاده شد. سپس تصاویر بدست آمده توسط نرم‌افزار ایمیج-چ پردازش شدند. فاصله انتهای گیره‌ها به عنوان طول مرجع نمونه‌ها در نظر گرفته شد. برای اندازه‌گیری کشنش همان‌طور که بیان شد متناسب هر تصویر نیرو در هر دو جهت توسط لودسل‌های نصب شده در دو جهت طولی و پیرامونی اندازه‌گیری شده توسط لودسل‌ها می‌باشد. آمده از نمونه‌ها، تنش در هر دو راستا با استفاده از روابط (۱.۲) بدست آمد:

$$\sigma_{11}^{\text{exp}} = \lambda_1 \frac{F_{11}}{l_2 t} \quad (1)$$

$$\sigma_{22}^{\text{exp}} = \lambda_2 \frac{F_{22}}{l_1 t} \quad (2)$$

که در این روابط λ_1 و λ_2 میزان کشنش در دو راستا هستند. F_{11} و F_{22} نیروهای اندازه‌گیری شده توسط لودسل‌ها می‌باشند. t ضخامت نمونه‌ها می‌باشد و l_1 و l_2 عرض نمونه‌ها قبل از بارگذاری است.

2- توسعه مدل بنیادی

در این مطالعه بافت صافن به عنوان بافتی تراکم‌ناپذیر، همگن و هایپرالاستیک مدل شد. اغلب داده‌های آزمایشگاهی عموماً با کمک یک تابع دانسیته انرژی کرنش تحلیل می‌شوند. این تابع معیاری از انرژی ذخیره شده در ماده در نتیجه تغییرشکل است. اگر یک رابطه یک به بین کرنش و تنش وجود داشته باشد، آنگاه تئوری الاستیسیته نشان می‌دهد که یک تابع انرژی کرنش W وجود دارد که با آن می‌توان تنش‌ها را از روی کرنش‌ها

تصویر رابطه (3) محاسبه کرد [21-19]:

$$\sigma_{ij} = PI + 2F_{ij} \frac{\partial W}{\partial C_{ij}} F_{ij}^T = PI + F_{ij} \frac{\partial W}{\partial E_{ij}} F_{ij}^T \quad (3)$$

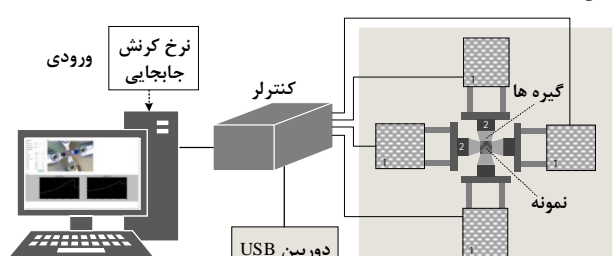
که در آن σ_{ij} تانسور تنش کوشی، P ضربی لاغرانژ، $C_{ij} = F_{ij}^T \cdot F_{ij}$ تانسور تغییر شکل گرین-کوشی راست، E_{ij} تانسور واحد، $E_{ij} = 0.5(C_{ij} - I_{ij})$ تانسور کرنش گرین-لاگرانژ و F_{ij} تانسور گرادیان تغییر شکل که می‌تواند به صورت $F = \partial X / \partial X$ تعریف شود می‌باشد که در آن X و X به ترتیب موقعیت مرجع و کنونی در پیکره‌بندی می‌باشند.

بر اساس تابع انرژی کرنشی و مدل‌های هایپرالاستیک [22-26] دو مدل بنیادی مناسب برای توصیف خواص مکانیکی صافن انتخاب شد.

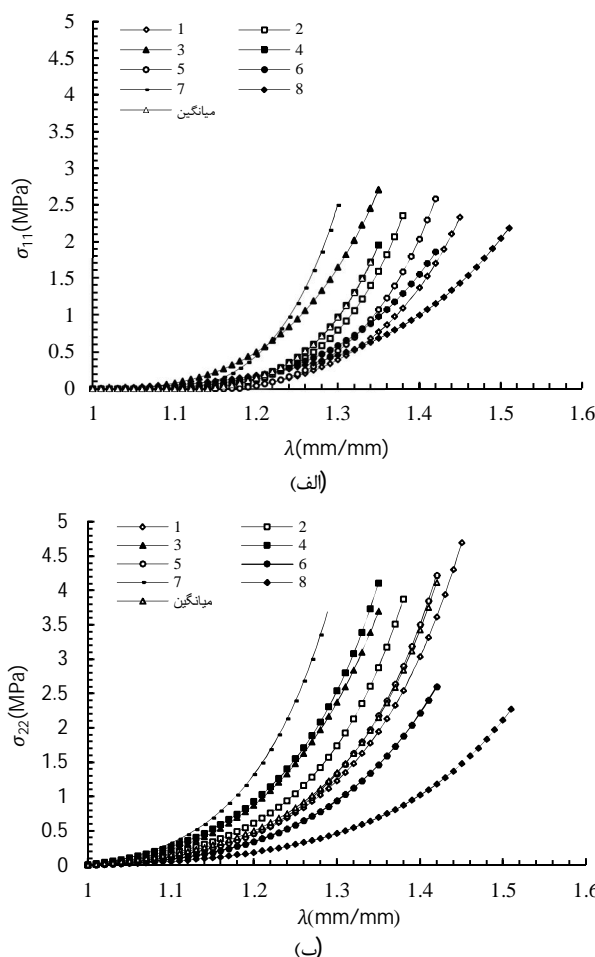
اولین مدل که استفاده شد مدل چهار پارامتری فانگ [22] که رفتار ناهمسانگرد بافت را توصیف می‌کند، بود. در مدل فانگ تابع انرژی کرنشی به صورت رابطه (4) است:

$$W(Q) = \frac{1}{2} C (e^Q - 1) \quad (4)$$

که در آن $Q(E) = a_1 E_{11}^2 + a_2 E_{22}^2 + 2a_3 E_{11}E_{22}$ و a_1 ، a_2 و a_3 ضرایب مدل هستند.



شکل ۱ شماتیکی از دستگاه کشنش دومحوری (۱-میکروموتورها ۲-لودسل‌ها)



شکل 3 نمودار تنش-کشش حاصل از ضرایب مونی-ریولین (الف) در راستای پیرامونی و (ب) راستای طولی ($\lambda_1 = \lambda_2 = \lambda$)

سلول‌های ماهیچه‌های نرم در لایه‌های مختلف بستگی دارد. فیبرهای الاستین در آغاز کشش در گیر می‌شوند و سپس فیبرهای کلاژن در تحمل تنش شرکت می‌کنند. استحکام بیشتر رگ صافن در راستای طولی نسبت به راستای پیرامونی می‌تواند نشان دهنده این مورد باشد که فیبرهای کلاژن تأثیرشان در این راستا بیشتر است، چون فیبرهای الاستین دارای استحکام کمتری هستند [29] و در میزان کشش‌های بالا نقش فیبرهای کلاژن بیشتر از الاستین است.

همان‌طور که در قسمت‌های قبل ذکر شد، در این مطالعه دو مدل ناهمسانگرد بنیادی که به خوبی بر روی داده‌های تجربی برآش می‌شدن و در تحقیقات قبلی از آن‌ها استفاده شده بود، به کار برده شد. مدل نمایی غیرخطی فانگ برای توصیف شریان‌ها [22]، عضله قلبی [30]، اپی کاردیوم [31] و میزنای خرگوش [32] و روده خوک [28] قبل استفاده شده است. مدل مونی-ریولین بهینه شده نیز به‌طور رایج در تحقیقات قبلی [5,33] استفاده شده است و مدلی است که می‌توان برای تحلیل‌های عددی اجزای محدود استفاده نمود. این مدل‌های بنیادی ناهمسانگردی و غیرخطی بودن بافت را توصیف می‌کنند.

همان‌طور که ذکر شد میزان استحکام بافت در جهت طولی بیشتر از عرضی است. در مدل فانگ مقدار بیشتر پارامتر a_2 ($4/9634 \pm 1/27$) نسبت

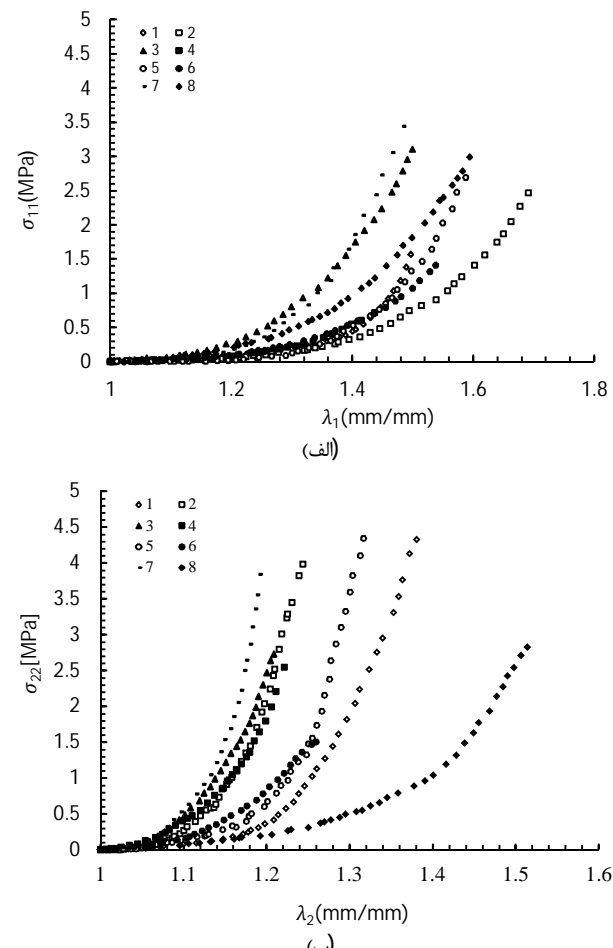
خطای جذر میانگین مربعات محاسبه شده، نمونه‌ها تقریباً با مدل مونی-ریولین بهتر برآش شدند (جدول ۱).

با استفاده از ضرایب مدل مونی-ریولین نمودار تنش-کشش بدست آمد (شکل 3). همچنین نمودار تنش-کشش میانگین برای داده‌های دومحوری با استفاده از پارامترهای میانگین ذکر شده در جدول ۲ رسم شد.

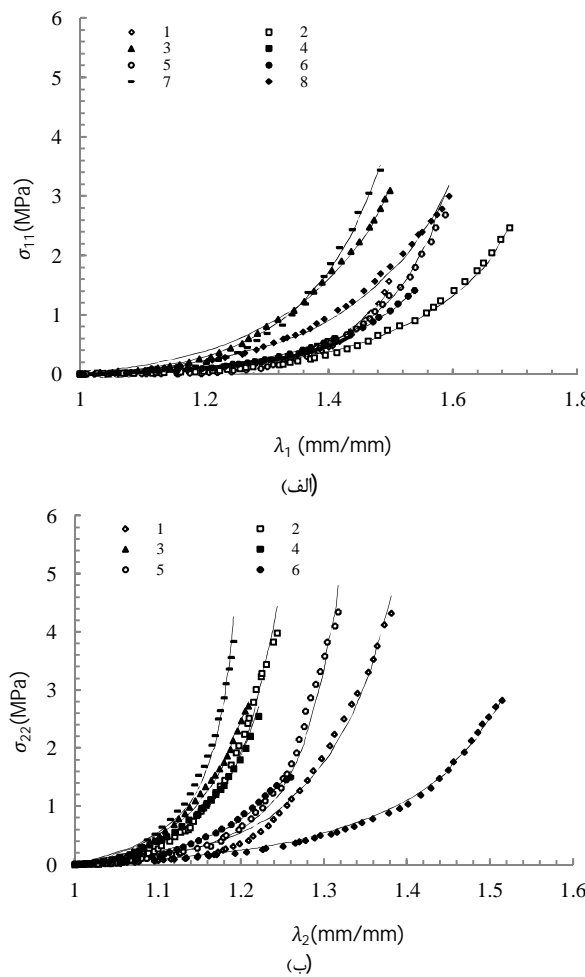
برای اعتبارسنجی روش برآش، داده‌های آزمایشگاهی با داده‌های حاصل از مدل سازی که با استفاده از پارامترهای مدل بدست آمدند با هم در یک نمودار رسم شدند (شکل 4). همان‌طور که مشاهده می‌شود می‌توان نتیجه گرفت که داده‌های حاصل از مدل سازی به درستی بر روی داده‌های آزمایشگاهی برآش شده‌اند.

4- بحث

این مطالعه مجموعه کاملی از داده‌های دومحوری مسطح تجربی برای ورید صافن انسان را که با دو مدل ناهمسانگرد بنیادی برآش شده‌اند ارائه می‌دهد. استحکام بافت در جهت طولی توسط همدانی و همکارانش با استفاده از آزمون‌های تکمحوری ارائه شده است [11]. در این مطالعه نیز نمونه‌ها میزان استحکام بیشتری را در جهت طولی از خود نشان دادند. میزان استحکام در راستای طولی حدود $0/36 \pm 3/26$ مگاپاسکال و برای راستای پیرامونی $0/34 \pm 2/29$ مگاپاسکال بدست آمد ($P < 0.05$). رفتار رگ تا نقطه گسیختگی در راستای طولی و پیرامونی به موقعیت شبکه‌های فیبرهای کلاژن و الاستین و



شکل 2 نمودار تنش-کشش برای نمونه‌های صافن انسان. (الف) تنش و کشش در راستای پیرامونی (11) و (ب) تنش و کشش در راستای طولی (22)

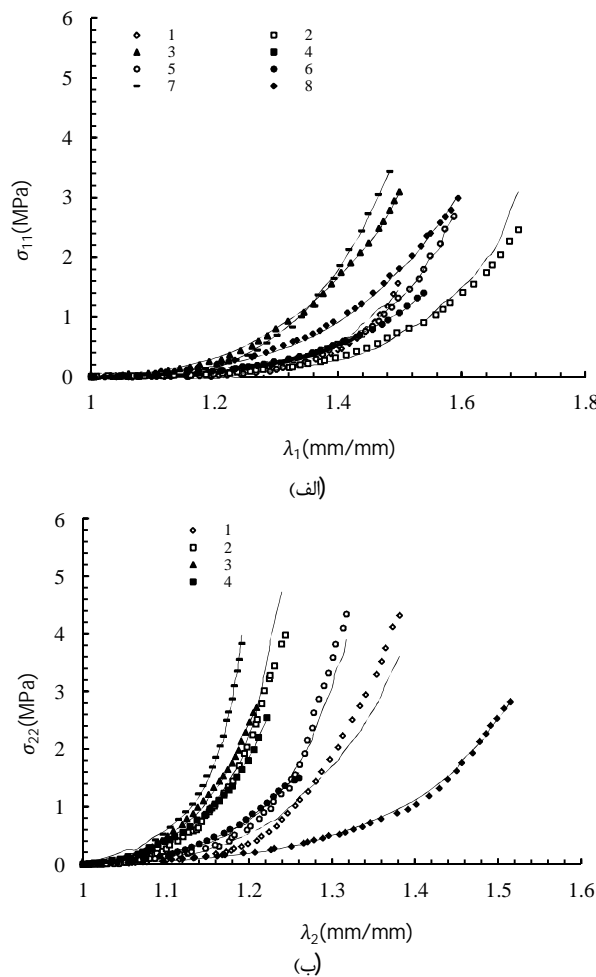


شکل ۵ مقایسه نمودارهای تنش-کشش حاصل از مدل فانگ با داده‌های تجربی در (الف) راستای پیرامونی و (ب) راستای طولی
جدول ۱ ضرایب مدل فانگ

rms	ناهمسانگردی	a_3	a_2	a_1	c(MPa)	نمونه‌ها
0/020	0/29	1/314	3/199	0/0002	0/266	1
0/014	0/21	0/835	5/771	0/520	0/331	2
0/018	0/66	1/072	1/902	0/901	0/811	3
0/011	0/14	1/005	9/629	0/477	0/236	4
0/015	0/22	0/085	7/479	1/564	0/139	5
0/010	0/55	0/879	1/798	0/594	0/412	6
0/029	0/28	1/019	9/367	1/931	0/300	7
0/011	0/98	0/378	0/563	0/541	0/745	8
0/012	0/32	0/732	4/432	0/913	0/321	میانگین

جدول 2 ضرایب مدل مونی-ریولین بهینه شده

rms	k_2	k_1 (MPa)	D_2	D_1 (MPa)	C_1 (MPa)	نمونه‌ها
0/045	0/480	-0/284	1/006	0/237	-0/066	1
0/048	0/233	-0/365	1/281	0/160	0/059	2
0/011	0/239	-0/281	0/809	0/888	-0/477	3
0/007	0/331	-0/575	1/208	0/273	0/093	4
0/030	0/239	-0/313	1/115	0/200	-0/075	5
0/007	0/338	-0/129	0/781	0/392	-0/221	6
0/015	0/183	-0/663	1/335	0/374	-0/118	7
0/007	1/240	-0/002	0/725	0/207	-0/074	8
0/009	0/223	-0/355	1/181	0/150	0/069	میانگین



شکل ۴ مقایسه نمودارهای تنش-کشش حاصل از مدل مونی-ریولین با داده‌های تجربی در (الف) راستای پیرامونی و (ب) راستای طولی

به $a_1 = 0/8161 \pm 0/22$ (0) شاید دلیل بر این می‌باشد که جهت فیبرهای کلاژن در راستای طولی است، همان‌طور که برای بافت میزبانی این مورد قبل ذکر شده است [32].

همه مدل‌هایی که در این مطالعه استفاده شدند غیرخطی و ناهمسانگرد هستند. بهویژه مدل مونی-ریولین را که می‌توان برای تحلیل‌های عددی تعامل جامد-سیال در بسته‌های اجزای محدود همانند نرم‌افزار آدینا استفاده کرد.

متأسفانه پارگی نمونه‌ها در نزدیک گیره‌ها به علت سفت بسته شدن و سرخوردن آنها به علت شل بسته شدن درستی درستی برای بسیاری از نمونه‌ها نداشت. این مسأله باعث از بین رفتن چندین نمونه شد. محدودیت در تهیه نمونه‌ها امکان نمونه‌گیری بیشتر را فراهم نیارد. بنابراین می‌توان در آینده با تعداد نمونه‌های بیشتری تأثیر سن و جنس را نیز بر روی خواص مکانیکی رگ صافن بررسی کرد. همچنین در نظرگرفتن قطر میانگین در نمونه‌ها و ضخامت یکنواخت برای رگ نیاز به بررسی بیشتر دارد.

5- نتیجه‌گیری

در این مطالعه، خواص مکانیکی ورید صافن انسان از طریق آزمون‌های مکانیکی دومحوری بررسی شد. داده‌های تجربی با مدل بنیادی چهار

- [16]. C.J. Van Andel, P.V. Pistecky, C. Borst. Mechanical properties of coronary arteries and internal mammary arteries beyond physiological deformation, *Proceedings of the 23rd Annual EMBS International Conference*, pp. 113-115, 2001.
- [17]. F. Cacho, M. Doblaré, G.A. Holzapfel, A procedure to simulate coronary artery bypass graft surgery, *Med Bio Eng Comput*, Vol. 45, pp. 819-827, 2007.
- [18]. H. Hung, C. Chong, A. Steinhart, J. Trexler, K. Billiar, Design of a biaxial test device for compliant tissue, In *Bioengineering Conference, of the IEEE 31st Annual Northeast*, pp. 200-201, 2005.
- [19]. W. Sun, M.S. Sacks, M.J. Scott, Numerical simulations of the planar biaxial mechanical behavior of biological materials, *ASME Summer Bioengineering, Miami, FL*, 2003.
- [20]. J.D. Humphrey, R.K. Strumpf, F.C.P. Yin, Determination of a constitutive relation for passive myocardium: A New Functional Form, *Journal of Biomechanical Engineering*, Vol. 112, pp. 33-339, 1990.
- [21]. J.D. Humphrey, R.K. Strumpf, F.C.P. Yin, Determination of a constitutive relation for passive myocardium: II. Parameter Estimation, *Journal of Biomechanical Engineering*, Vol. 112, pp. 340-346, 1990.
- [22]. Y.C. Fung, K. Froncik, P. Patitucci, Pseudoelasticity of arteries and the choice of its mathematical expression, *American Journal of Physiology*, Vol. 237, No. 5 pp. 620-631, 1979.
- [23]. G.A. Holzapfel, T.C. Gasser, R.W. Ogden, A new constitutive framework for arterial wall mechanics and a comparative study of material models, *Journal of Elasticity*, Vol. 61, pp. 1-48, 2000.
- [24]. G.A. Holzapfel, R. Eberlein, P. Wriggers, H. Weizsäcker, Large strain analysis of soft biological membranes: Formulation and finite element analysis, *Computer Methods in Applied Mechanics and Engineering*, Vol. 132, pp. 45-61, 1996.
- [25]. G.A. Holzapfel, T.C. Gasser, R.W. Ogden, Comparison of a multi-layer structural model for arterial walls with a Fung-type model, and issues of material stability, *Journal of Biomechanical Engineering*, Vol. 126, pp. 264-275, 2004.
- [26]. G.A. Holzapfel, Similarities between soft biological tissues and rubberlike materials, In *constitutive models for rubber-proceedings, Balkema*, Vol. 4, pp. 607, 2005.
- [27]. C. Yang, R.G. Bach, J. Zheng, I.E. Naqa, P.K. Woodard, Z. Teng, K. Billiar, D. Tang, In vivo IVUS-based 3-D fluid-structure interaction models with cyclic bending and anisotropic vessel properties for human atherosclerotic coronary plaque mechanical analysis, *IEEE Transactions on Bio-Medical Engineering*, Vol. 56, pp. 2420-2428, 2009.
- [28]. C. Bellini, P. Glass, M. Sitti, E.S. Di Martino, Biaxial mechanical modeling of the small intestine, *Journal of the mechanical behavior of biomedical materials*, Vol. 4, No. 8, pp. 1727-1740, 2011.
- [29]. D.P. Sokolis, , E.M. Kefaloyannis, M. Kouloukoussa, Marinos, E. H. Boudoulas, P.E. Karayannacos, A structural basis for the aortic stress-strain relation in uniaxial tension, *Journal of biomechanics*, Vol. 39, No. 9, pp. 165, 2006.
- [30]. F.C. Yin, R.K. Strumpf, P.H. Chew, S.L. Zeger, Quantification of the mechanical properties of noncontracting canine myocardium under simultaneous biaxial loading, *Journal of biomechanics*, Vol. 20, No. 6, pp. 577-589, 1987.
- [31]. J.D. Humphrey, R.K. Strumpf, F.C.P. Yin, A constitutive theory for biomembranes: application to epicardial mechanics, *Journal of biomechanical engineering*, Vol. 114, No. 4, pp. 461-466, 1992.
- [32]. D.P. Sokolis, Multiaxial mechanical behavior of the passive ureteral wall: experimental study and mathematical characterization, *Computer Methods in Biomechanics and Biomedical Engineering*, Vol. 15, No. 11, pp. 1145-1156, 2012.
- [33]. D. Tang, C. Yang, S. Kobayashi, J. Zheng, Z. Teng, K. Billiar, P.K. Woodard, 3D MRI-based anisotropic FSI models with cyclic bending for human coronary atherosclerotic plaque mechanical analysis, *Journal of biomechanical engineering*, Vol. 131, No. 6, 2009.

پارامتری فانگ و پنج پارامتری مونی-ریولین تطبیق داده شدند و متوسط ثابت‌های آنها گزارش شدند. منحنی‌های تنش-کرنش به دست آمده از مدل-ها با داده‌های تجربی سازگار بودند. استحکام رگ در جهت طولی بیشتر از راستای پیرامونی بود و این نشان‌دهنده ضرورت در نظر گرفتن رفتار ناهمگن رگ‌های خونی است. همچنین نمونه‌ها درجهای از ناهمسانگردی را از خود نشان دادند. در واقع این مطالعه می‌تواند به عنوان یک مرجع برای توصیف رفتار مکانیکی ورد صافن استفاده شود.

6- مراجع

- [1] M.G. Khan, *Encyclopedia of heart diseases*, Academic Press, New York, pp. 118, 2005.
- [2] S.G. Raja, Z. Haider, M. Ahmad, H. Zaman, Saphenous vein grafts: to use or not to use?, *Heart, Lung and Circulation*. Vol. 13, No. 2, pp.150-156, 2004.
- [3] C. Lally, A.J. Reid, P.J. Prendergast, Elastic behavior of porcine coronary artery tissue under uniaxial and equibiaxial tension, *Annals of Biomedical Engineering*, Vol. 32, No. 10, pp. 1355-1364, 2004.
- [4] G.A. Holzapfel, G. Sommer, C.T. Gasser, P. Regitnig, Determination of layer-specific mechanical properties, *Circulation*, Vol. 289, H2048-2058, 2005.
- [5] M.H. Kural, Cai, M.D. Tang, T. Gwyther, J. Zheng, K.L. Billiar, Planar biaxial characterization of diseased human coronary and carotid arteries for computational modeling, *Journal of biomechanics*, Vol. 45, No. 5 pp. 790-798, 2012.
- [6] R. Armentano, J.L. Megnien, A. Simon, F. Bellenfant, J. Barra, J. Levenson, Effects of hypertension on viscoelasticity of carotid and femoral arteries in humans, *Hypertension*, Vol. 26, No.1, pp. 48-54, 1995.
- [7] L. Waite, J.M. Fine, *Applied biofluid mechanics*, The McGraw-Hill Companies, Inc. Sydney, 2007.
- [8] G.A. Holzapfel, T.C. Gasser, M. Stadler, A structural model for the viscoelastic behavior of arterial walls: continuum formulation and finite element analysis, *European Journal of Mechanics-A/Solids*, Vol. 21, No. 3, pp. 441-463, 2002.
- [9] J. Xie, J. Zhou, Y.C. Fung, Bending of blood vessel wall: stress-strain laws of the intima-media and adventitial layers. *Journal of biomechanical engineering*, Vol. 117, No. 1, pp. 136-145, 1995.
- [10] D.L. Donovan, S.P. Schmidt, S.P. Townsend, G.O. Njus, W.V. Sharp, Material and structural characterization of human saphenous vein, *Journal of vascular surgery*, Vol. 12, No. 5, pp. 531-537, 1990.
- [11] B.A. Hamedani, M. Navidbaksh, H.A. Tafti, Comparison between mechanical properties of human saphenous vein and umbilical vein, *Biomedical engineering online*, Vol. 11, No. 1, pp. 59, 2012.
- [12] K. Paranjithi, U. Saravanan, R. KrishnaKumar, K.R. Balakrishnan, Mechanical Properties of Human Saphenous Vein, In *Mechanics of Biological Systems and Materials*, Vol. 2, pp. 79-85, 2011.
- [13] L.J. Brossollet, R.P. Vito, The effects of cryopreservation on the biaxial mechanical properties of canine saphenous veins, *Journal of biomechanical engineering*, Vol. 119, No. 1, pp. 1-5, 1997.
- [14] V. Milesi, A. Rebollo, F. A. Paredes, N. Sanz, J. Tommasi, G. J. Rinaldi, A. O. Grassi, Mechanical properties of human saphenous veins from normotensive and hypertensive patients, *The Annals of thoracic surgery*, Vol. 66, No. 2, pp. 455-461, 1998.
- [15] P. Chamiot-Clerc, X. Copie, J.F. Renaud, M. Safar, X. Girerd, Comparative reactivity and mechanical properties of human isolated internal mammary and radial arteries, *Cardiovascular research*, Vol. 37, No. 3, pp. 811-819, 1998.